

大阪大学工学部

カリフオルニア大学
バークレー土木工学科

正員 ○松井 保

J.K. ミッケル

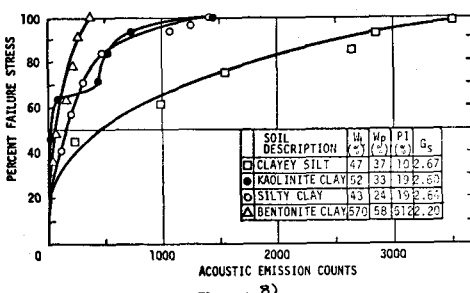
1 まえがき

土の力学的挙動のメカニズムに対する微視的物性論的概念は十分確立されたとはいえない現状である。土粒子間相互作用のメカニズムを明らかにし、土のせん断抵抗力に関する普遍的概念を得るためにアプローチ一つとしてレートプロセス理論が用いられ⁽¹⁾⁽²⁾⁽³⁾、土のせん断抵抗力の発生機構に対する微視的概念が開発されてきた。その結果、多数の1次結合からなる凝着を伴う土粒子固体間接触が存在し、この凝着による结合力が、含水量の非常に大きい粘土・水系以外、固体あるいは半固体の状態の土に対して、せん断抵抗力の基本的な発生源となることが明らかにされている。⁽¹⁾⁽³⁾⁽⁴⁾⁽⁵⁾また、粘土粒子に対する固体間接触の存在に対する物理的証拠一つとして、走査型顕微鏡により観察された粘土粒子表面に残された摩擦痕がすでに示されている。⁽⁶⁾⁽⁷⁾

本報告は、上記の結果をふまえ、土のせん断機構の微視的概念をさらに発展させ、せん断時の土粒子間応力をより土の“真の摩擦角”について考察を加えるものである。

2 土のせん断抵抗力の微視的モデル

土のせん断抵抗力の基本的な発生源は、砂粒子のみならず粘土粒子に対しても、土粒子固体間接触と考えられる。粘性土に対するアクスティックエミッション(AE)の挙動によつて、粘土粒子固体間接触の存在は計測するもう一つの物理的証拠が得られる。すなわち、もしせん断中の粘土供試体中におりてAEが測定されれば、その結果はせん断時の粘土粒子固体間接触をさらに裏づけるものである。せん断時、AEは土粒子固体間摩擦により生じるものであり、吸着層間の摩擦のみならずは生じないと考えらるるからである。図-1⁽⁸⁾は、最適含水比が算出された4種の粘性土に対して三軸クリープ試験によって得られたAE発生数と応力レベルとの関係を示している。この図から、AEは粘性土においても一とくにベントナイトにおいても一観察されることが明らかにされている。

図-1⁽⁸⁾

つぎに、土粒子固体間接触の接合点に作用する垂直力に着目した土のせん断抵抗力の微視的モデルを示す。図-2に示すように、有効主応力 σ'_1 、 σ'_3 が作用する軸差応力状態にある要素を微視的観察から3つ状態、すなわち等方的平均有効主応力 σ'_m を受ける要素、軸差応力 $(\sigma'_1 - \sigma'_m)$ および $(\sigma'_3 - \sigma'_m)$ を受ける要素、および外力が作用しない要素に分割して考える。単位面積当たり土粒子接合数を S_s 、1接合点に作用する垂直力を P 、土要素に外的に作用する等方的垂直応力による P の成分を $P_{ext,n}$ 、同じく軸差応力による P の成分を $P_{ext,d}$ 、土粒子間相互作用による P の成分を P_{int} 、1接合点における真の接触面積を A_c 、 $P_{ext,n}$ 、 $P_{ext,d}$ および P_{int} によって生じる A_c の部分を活性化 $A_{ext,n}$ 、 $A_{ext,d}$ および A_{int} 、土粒子の降伏応力を σ_y とする。定義より、 $P = P_{ext,n} + P_{ext,d} + P_{int}$ (1) $A_c = A_{ext,n} + A_{ext,d} + A_{int}$ (2)

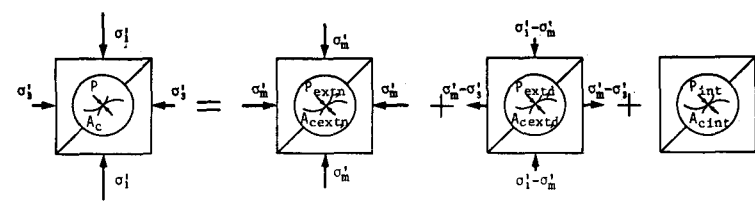
摩擦の凝着理論⁽⁹⁾により、

$$P = \sigma_y A_c \quad \dots \dots \dots (3)$$

$$P_{ext,n} = \sigma_y A_{ext,n} \quad \dots \dots \dots (4)$$

$$P_{ext,d} = \sigma_y A_{ext,d} \quad \dots \dots \dots (5)$$

$$P_{int} = \sigma_y A_{int} \quad \dots \dots \dots (6)$$



原子オーダーの微視的結合数 S_s が

図-2

土粒子間の真の接触面積に比例するとして仮定し、その比例係数を α^* とすれば、 $S = \alpha^* S_s \cdot A_c$ (7)

実験的にすでに明らかにされていこううに、せん断強さ T_f は結合数 S に比例するとして、 $T_f = f_f \cdot S$ (8)

ここに、 f_f は 1 原子結合に作用する破壊時のせん断力である。式(7)を式(8)に代入し、式(1)および式(3)を用いれば、次式が得られる。

$$T_f = \left(\frac{\alpha^* f_f}{S_y} \right) \cdot S_s \cdot P = \left(\frac{\alpha^* f_f}{S_y} \right) \cdot S_s (P_{ext,n} + P_{ext,d} + P_{int}) (9)$$

一方、破壊に至るまでのせん断抵抗力をに対するは、紙面の都合で詳細は省略するが、式(9)中 f_f を f_f' に置きかえるだけで同様の表現が得られる。ただし、 f_f' は 1 原子結合に作用するせん断力で、せん断ひずみが増加とともに双曲線的に増加し、破壊時には f_f' に達する。

③ せん断時の土粒子間応力と土の“真の摩擦角”

P の 1 成分 $P_{ext,n}$ は平均全主応力 σ_m と等価間隙圧 \bar{U} によって寄与され、 $P_{ext,d}$ は土構造のダイレクトアンサーによる垂直力 P_D によって寄与される。一方、 P_{int} は主として、過圧密によって生じるような応力履歴による垂直力 P_H 、ファンデルワールス力や静電気的引力によって生じるような土粒子間引力 P_A 、水和作用や静電気的反発力によって生じる土粒子間反発力 P_R 、不飽和土における土粒子間サクション P_S 、およびセメントーションによる垂直力 P_C によって寄与されることが考えられる。したがって、概念的には次式が得られる。

$$P = P_{ext,n} + P_{ext,d} + P_{int} = (\sigma_m - \bar{U})/S_s + P_D + P_H + P_A + P_R + P_S + P_C (10)$$

($P \cdot S_s$) は単位面積当たり土粒子間力すなわち粒子間応力を表わし、これを σ'_c と書けば、式(10)は次式になる。

$$\sigma'_c = (\sigma_m - \bar{U}) + \sigma'_D + \sigma'_H + \sigma'_A + \sigma'_R + \sigma'_S + \sigma'_C (11)$$

ここで、 σ'_D 、 σ'_H 、 σ'_A 、 σ'_R 、 σ'_S および σ'_C はそれぞれダイレクトアンサー、応力履歴、土粒子間引力、土粒子間反発力、サクションおよびセメントーションによって起因する粒子間応力である。

式(10)および式(11)を式(9)に代入すれば、それぞれ次式が得られる。

$$T_f = (\alpha^* f_f / S_y) \{ \sigma'_c + S_s (P_D + P_H + P_A + P_R + P_S + P_C) \} (12)$$

$$T_f = (\alpha^* f_f / S_y) (\sigma'_c + \sigma'_D + \sigma'_H + \sigma'_A + \sigma'_R + \sigma'_S + \sigma'_C) (12')$$

式(11)と σ'_c を“真の有効応力”と考え、“真の摩擦角”を ϕ^* で表わすと、 $T_f = \sigma'_c \tan \phi^*$ (13)

式(12')と式(13)を比較すれば、“真の摩擦角”は次式によって微視的物性論的に表現される。

$$\phi^* = \tan^{-1} (\alpha^* f_f / S_y) (14)$$

式(14)は、一つの土に対する ϕ^* の値が一定であり、異なる粒度鉱物に対する重ねりうる=とを示していい。普通の土に対する ϕ^* 、 S_y の概略値はそれぞれ $5 \times 10^{12} \text{ cm}^2$ および 10^3 kgf/cm^2 であり、 f_f の値は実験結果より約 $5 \times 10^{-8} \text{ gf}$ であるので、これらの値を式(14)に代入すれば、 $\phi^* = \tan^{-1}(0.25) = 14.0^\circ$ (15)

Chattopadhyay¹⁰ は、残留応力状態の“真の摩擦角” ϕ'_r を実験的に測定した。その際、“真の有効応力”としては $\sigma^* = \sigma - u_w - R + A$ (16) を用いたが、その結果モンモリロナイトに対して $\phi'_r = 8.5^\circ$ 、カオリナイトに対して $\phi'_r = 11^\circ$ が得られていい。これらの値が式(15)の ϕ^* の値に概略一致していいことは、式(14)で表わされる“真の摩擦角”的微視的表現の妥当性を支持するものである。

本研究は戦闘法人鹿島学術振興財团海外派遣援助によるものであり、同財團に深甚なる謝意を表す次第である。

参考文献

- 1) Mitchell J.K. et al., "Bonding, Effective Stresses and Strength of Soils," Jour. of S.H.F.D., ASCE, Vol. 95, No. SM5, 1969, pp. 1219-1226.
- 2) Andresson O.B. et al., "Soil Deformation Rates and Activation Energies," Geotechnique, Vol. 20, No. 1, 1970, pp. 1-16.
- 3) Matsui T. et al., "Flow Mechanism of Clay-Water System and Microscopic Meaning of Shear Parameters of Soils," Proc. of Specialty Session 9, 9th ICSMFE, 1977, pp. 148-152.
- 4) 伊藤・木村・猪土・浦野「粘土の運動機構に関する研究」土学会論集第236号, 1975, pp. 1-16.
- 5) 松井・伊藤・猪土・木村「統一的な運動機構に関する基礎的研究」土学会論文集第242号, 1975, pp. 41-51.
- 6) 松井・伊藤・阿部「土のせん断抵抗力の発生機構について」第32回土木学会講演会III, 1978, pp. 117-118.
- 7) Matsui T. et al., "On the Existence of Solid-to-Solid Contact between Clay Particles," Proc. of Specialty Session 9, 9th ICSMFE, 1977, pp. 278-300.
- 8) Koerner R.M. et al., "Acoustic Emission Behavior of Cohesive Soils," Jour. of G.E.D., ASCE, Vol. 103, No. GT8, 1977, pp. 837-850.
- 9) Bowden F.P. et al., "The Friction and Lubrication of Solids," Clarendon Press, Oxford, 1954.
- 10) Chattopadhyay P.K., "Residual Shear Strength of Some Pure Clay Minerals," Ph.D. Thesis, Univ. of Alberta, Edmonton, Canada, 1972.